

## 탄소 나노튜브 나노유체의 열전도도에 대한 연구

김 봉 훈

대구대학교 자동차·산업·기계공학부

### Study on the Thermal Conductivity of Carbon-Nanotube Nanofluids

Bong-Hun Kim

Automotive, Industrial and Mechanical Eng. Dept. Daegu University, Gyeongbuk 712-714, Korea

**ABSTRACT:** An experimental study was conducted to investigate the effect of the morphology of CNT on the thermal conductivity of suspensions. The effective thermal conductivities of the samples were measured using a steady-state cut bar apparatus method. Enhancements based on the thermal conductivity of the base fluid are presented as functions of both the volume fraction and the temperature. Although functionalized SWNT produced a more stable and homogeneous suspension, the addition of small amounts of surfactant to suspensions of "as produced" SWNT demonstrated a greater increase in effective thermal conductivity than functionalized SWNT alone. The effective thermal conductivity enhancement corresponding to 1.0 percent by volume approached 10%, which was observed to be lower than expected, but more than twice the values, 3.5%, obtained for similar tests conducted using aluminum oxide suspensions. However, for suspensions of MWNT, the degree of enhancement was measured to be approximately 37%. It was postulated that the effect of clustering, resulting from the multiple heat-flow passages constituted by interconnecting neighboring CNT clusters, played an important role in significant enhancement of effective thermal conductivity.

**Key words:** Caron Nanotube(탄소나노튜브), Nanofluid(나노유체) Effective Thermal Conductivity (유효열전도도), Clustering(클러스터 효과), Aspect Ratio(종횡비),

### 기호 설명

- $A$  : 면적 [ $m^2$ ]  
 $k$  : 열전도도 [ $W/m \cdot K$ ]  
 $L$  : 거리 [ $m$ ]  
 $m$  : 질량 [ $g$ ]  
 $q$  : 열전달율 [ $W$ ]  
 $T$  : 온도 [ $^\circ C$ ]

### 1. 서 론

고체-유체 혼합액체가 높은 열전도도를 갖는다는 사실에 대해서는 Maxwell<sup>(1)</sup> 이래로 많은 연구가 진행되었다. 최근에는 나노공학 분야의 큰 기술적인 진전으로 인하여 획기적으로 높은 열전도도<sup>(2)</sup>를 나타내는 탄소 튜브(Carbon Nanotube: CNT)인 SWNT(Single-Walled Nanotube) 및 MWNT(Multi-Walled Nanotube)의 대량 합성 공정이 개발되어 나노입자-유체 혼합액인 나노유체<sup>(3)</sup>의 산업적인 활용 가능성이 높아지게 되었다. Choi et al.<sup>(3)</sup>은 CVD법(Chemical Vapor

Corresponding author

Tel : +82-53-850-6682 fax : +82-53-850-6689  
E-mail address : meen9264@hanmail.net

Deposition)으로 제조된 MWNT 나노유체의 열전도도의 비( $k_e/k_f$ )를 측정하였는데 체적농도 1%에서 약 2.5 이상이었다.

Xie et al.<sup>(4)</sup>의 경우에도 제조상태 그대로의 AP-MWNT(As Produced MWNT)를 친수화 처리한 F-MWNT(Functionalized MWNT)를 이용한 F-MWNT/H<sub>2</sub>O 그리고 F-MWNT/EG(에틸렌글리콜)에 대한 열전도도의 향상비율( $(k_e - k_f)/k_f$ )은 체적농도 1%에서 각각 7%와 13% 정도로 나타났으며 체적농도의 증가에 따라서 선형적으로 증가되는 경향을 보였다.

근래에 Assael et al.<sup>(5)</sup> 도 Choi et al.<sup>(3)</sup>과 동일한 측정방법을 이용하여 상온에서 AP-MWNT(CVD법)/H<sub>2</sub>O 나노유체의 유효열전도도를 측정하였다. 최대 열전도도 향상비율은 0.67%의 체적농도에서 39%(평균치 29%)로 나타났다. 이러한 팔목할만한 열전도도 향상비율은 유사한 나노유체(AP-MWNT/H<sub>2</sub>O)를 적용한 Wen and Ding<sup>(6)</sup>의 연구에서도 동일하게 나타났다. 체적농도 0.84%에서 열전도도 향상비율은 나노유체의 온도가 25°C에서 45°C로 증가됨에 따라서 27%에서 30% 변화되는 경향을 보였다.

Das et al.<sup>(7)</sup>은 나노유체의 열전도도 향상기구(Enhancement Mechanism)로 온도에 좌우되는 브라운운동(Brownian Motion)과 같이 나노입자들의 확률론적인 운동이라고 추정하였다. Choi et al.<sup>(3)</sup>도 실체적인 두 가지의 향상기구를 제안하였다. 하나는 CNT 내부에서 양자의 평균자유거리(Mean Free Path)가 커지면서 기존의 열확산과는 다른 베리스틱 열전도(Ballistic Conduction)이 발생한다는 것이고 다른 것은 나노입자와 액체간의 계면에 형성되는 정렬구조(Aligned Structure)를 통한 열전도를 제안하였다. 그러나 정렬구조로 인한 향상기구는 Wang et al.<sup>(8)</sup>과 Lee et al.<sup>(9)</sup>에서 주장하는 주요한 열유동 원리인 미세대류(Micro-convection)와는 다소 상반되어 아직 입증되지 못하고 있으며 베리스틱 열전도라는 CNT 자체의 새로운 열전도 향상기구도 이론적인 측면에서 충분한 근거가 제시되지 못하고 있다.

본 연구에서는 CNT의 형상학적인 변수가 열전도도 향상률에 미치는 영향을 체적농도와 온도의 함수로 나타내고자 한다. 이 연구목표들을 달성하

기 위하여 각 CNT 샘플의 유효 열전도도는 Challoner and Powell<sup>(10)</sup>이 제안한 것과 유사한 정상상태 측정법을 이용하여 측정하였다.

## 2. 나노유체 제조 및 특성분석

본 연구에서 사용된 CNT 파우더의 종류는 다음과 같이 분류된다.

CNT-A: AP-SWNT(CVD법), Carbon Nanotech Inc. (USA).

CNT-B: F-SWNT(아크 생성법), Carbon Solution Inc. (USA).

CNT-C: 정제된 MWNT(CVD법), MER Corp. (USA).

이 CNT 파우더 샘플의 그라파이트 구조는 알곤레이저를 장착한 라만(Raman)분석기<sup>(11)</sup>를 이용하여 조사하였다. 모든 CNT 파우더에 있어서 그라파이트 결정구조에 대응하는 G 피크는 1580 cm<sup>-1</sup>에서 나타났고 결함, 미세 그라파이트 입자 또는 비정질 탄소 등에 기인하는 D 피크는 1350 cm<sup>-1</sup>에서 나타났다.<sup>(12)</sup> CNT B의 스펙트럼에서는 AP-SWNT의 경우보다 한층 더 강한 D 피크가 나타났다.<sup>(13)</sup>

Fig. 1에는 CNT B의 전자현미경(SEM) 사진으로 F-SWNT(Functionalized SWNT)를 사용한

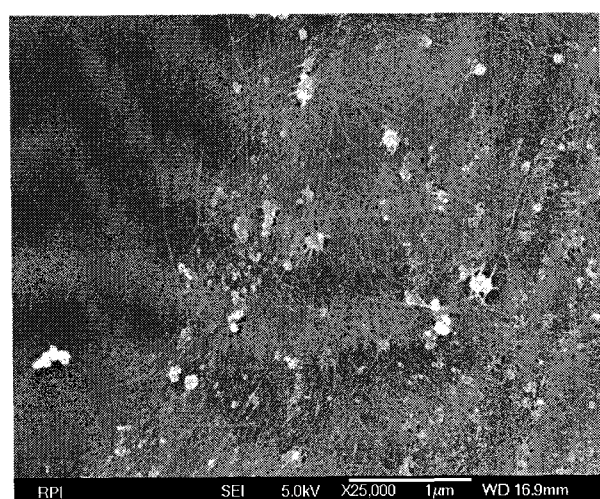


Fig. 1 SEM image of CNT B

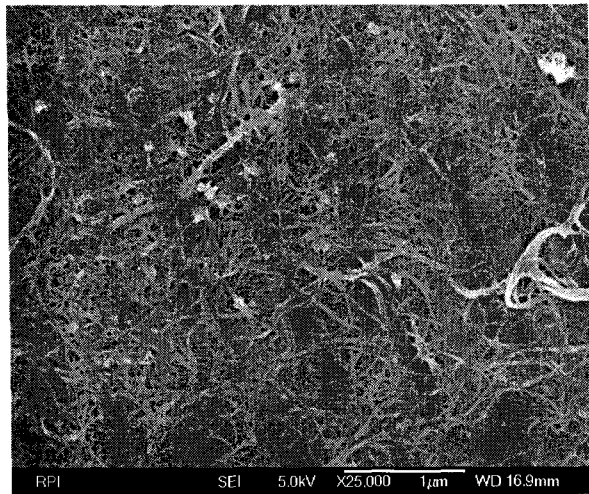


Fig. 2 SEM image of CNT A

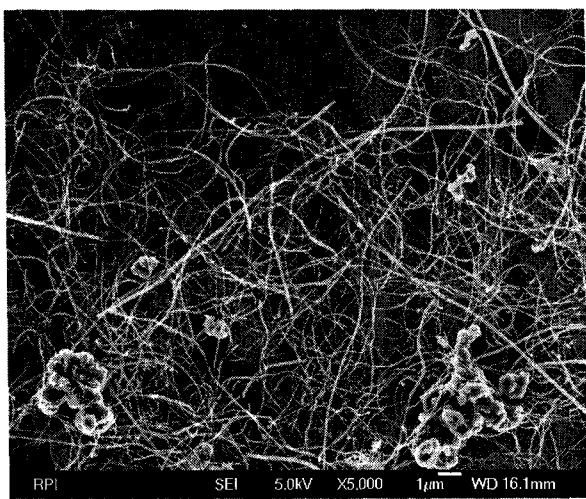


Fig. 3 SEM image of CNT C

CNT B는 잘 분산되고 직경과 길이 모두 균일하며 평균길이가 약  $1.5\mu\text{m}$  정도로 나타났다. 그리고 CNT A와 C의 전자현미경 사진에서도 CNT는 계면활성제(SDBS)에 의하여 잘 분산되어 있음을 볼 수 있었고 평균길이가 각각  $3\mu\text{m}$ 과  $30\mu\text{m}$  정도로 조사되었다.

CNT 샘플의 직경은 100KV에서 투과전자현미경(TEM)을 사용하여 조사하였다. CNT A 와 B의 평균직경은 각각 20 nm와 15nm로 관측되었다. MWNT인 CNT C는 Assael et al.<sup>(5)</sup>에서 사용된 것처럼 SWNT보다 아주 굵고 평균직경이 대

략  $90\mu\text{m}$  정도로 나타났다.

유효 열전도도를 측정하기 위해서 3종의 CNT A, B, C를 3종의 체적농도 0.3, 0.7, 1.0%에 따라서 조합하여 9종류의 나노유체 샘플을 제조하였다. CNT B의 경우에는 계면활성제를 사용하지 않았으며 CNT A 와 CNT C 샘플에는 CNT의 질량비로 1:1 만큼 SDBS를 첨가하여 잘 분산된 균일한 샘플을 만들었다. 이러한 샘플에 있어서 체적농도는 다음과 같이 정의된다.

$$\phi = \left( \frac{m_p \rho_p}{m_p \rho_p + m_f \rho_f} \right) \quad (3)$$

여기서  $\rho_p$ 는 SWNT와 MWNT 입자의 밀도에 해당되며 각각  $1.3$ 과  $2.2 \text{ g/cm}^3$ 이 본 연구에 적용되었다.<sup>(14-15)</sup>

### 3. 실험장치

Fig. 4는 유효열전도도를 측정하기 위한 시험장치로 두 개의 동봉이 수직으로 정렬되어 있고 중간에 CNT 나노유체가 주입될 수 있는 공간을 확보하기 위해 오링이 위치하고 있다. 도시된 것처럼 상부 및 하부의 동봉의 외경은 26mm이며 길이는 동일하게 115mm이다. 오링과 상하부 동봉으로 구성된 셀에 나노유체 샘플을 주입하기 위하여 0.6mm 직경의 도관이 가공되어 있다. 상부 동봉의 끝단에는 밴드 형 전기히터( $110\Omega$ )가 설치되어 DC 전원 공급 장치에 연결되어 있고 하부동봉의 선단은 항온수조에서 공급되는 냉각수가 흐르는 냉각재킷에 연결되어 있다.

동봉의 온도를 측정하기 위하여 14개의 K-type 열전대가 사용되었다. 동봉의 중심까지 닿도록 설치된 두 조의 열전대 T9/T10와 T11/T12로부터 축방향의 온도차가 측정된다. 같은 방법으로 나노유체가 주입되는 셀의 상하부 표면에 근접되게 설치된 4조의 열전대(T1/T5, T2/T6, T3/T7 그리고 T4/T8)들을 이용하여 셀의 상하 온도차를 측정한다.

실험 전 동봉들은 축 방향으로 압축되어 셀의 높이가 1.7mm가 되도록 고정되며 실험 중에는 Fig. 5의 장치는 0.02 Torr 이하로 유지되는 진공챔버 속에 설치된다. 열전대들은 컴퓨터와 연결된

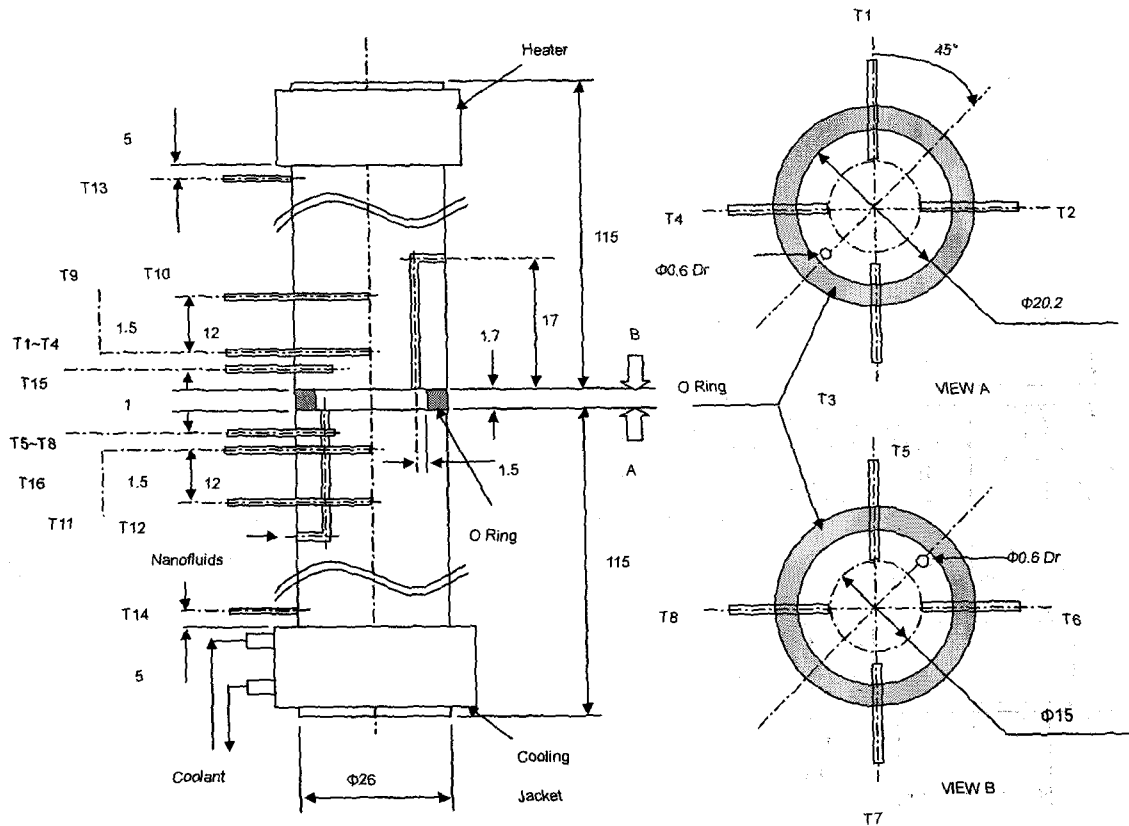


Fig. 4 Experimental apparatus

데이터 획득 장치에 접속되어 10초 간격으로 온도 데이터가 기록된다.

#### 4. 실험조건 및 절차

먼저 Fig. 5에 도시된 셀 내부에 0.5cc 정도의 나노유체 샘플을 채운 후 입출구의 튜브를 막는다. 그 다음에는 실험 장치를 진공챔버 속에 수직으로 설치하고 진공을 건 후 내부진공도가 0.02 Torr 이하가 되고 각 열전대의 온도변화가 0.1°C 이하가 될 때까지 초기화 과정을 거친다. 초기화가 완료되면 -15°C의 냉각수를 4.9 l/min로 조절하여 순환시킨다. 이와 동시에 히터를 켜고 DC 전원공급기의 전압을 3단계로 상승시킴으로써 절과적으로 나노유체의 온도를 증가시킨다.

축 방향 열전달율은 가열부 및 냉각부의 축 방향 평균온도차로부터 계산된다.

$$\Delta T_c = (T_{10} - T_9 + T_{11} - T_{12})/2 \quad (4)$$

$$q = A_c k_c \frac{\Delta T_c}{L_c} \quad (5)$$

여기서 구리의 열전도도  $k_c$ (W/cm.K)는 온도의 함수로 다음과 같이 근사된다.<sup>(15)</sup>

$$k_c = 4.06 - 0.08 \frac{(T-2)}{75} \quad (6)$$

나노유체의 유효열전도도는 1차원 열전도식과 오링의 열저항을 고려하여 계산하면

$$k_e = \frac{1}{A_f} \left( \frac{q L_g}{\Delta T_g} - k_0 A_0 \right) \quad (7)$$

여기서  $\Delta T_g$ 는 나노유체에 부과되는 상하의 온도 차로 4조의 온도차를 평균하여 얻어진다.

$$\Delta T_g = (T_1 - T_5 + T_2 - T_3 + T_3 - T_7 + T_4 - T_8)/4 \quad (8)$$

오링의 열전도도는 셀에 나노유체를 채우지 않은 예비실험을 통하여  $5.0 \times 10^{-4}$  W/m.K 정도로 산정되었다.<sup>(15)</sup> 식(6)에 있는 셀의 높이( $L_g$ )는 가열부

및 냉각부의 동봉의 평균온도를 고려한 열팽창으로 보정해야 한다. 열팽창계수로 본 연구에서는  $1.6 \times 10^{-5} (\text{K}^{-1})$ 을 적용하였다.<sup>(16)</sup>

## 5. 결과 및 토의

식(7)에서 표시된 것과 같이 식(5)로 계산되는 축방향 열전달과 식(8)에서 정의되는 나노유체 셀의 상하 온도차를 이용하여 1차원 열전도의 기본 원리로부터 9종의 나노유체에 대한 유효열전도도가 측정되었다. 우선 본 실험 이전에 종류수의 열전도도( $k_f$ )가 온도의 변화에 따라서 측정되었고 그 결과는 Fig. 6에 나타나 있다. 측정된 데이터의 온도 상승에 따른 1차 근사는 거의 선형적인 양상을 보여주고 있으며 1% 이내의 편차로 기준에 보고된 물성데이터와 잘 일치하고 있다. 종류수에 대한 이러한 측정값으로부터  $k_f$ 는 유체의 평균온도를 함수로 한 1차식으로 표시되고 각 온도에 따라서 유효열전도도의 향상률에 반영된다.

Fig. 7은 친수화 처리된 F-SWNT를 함유한 CNT B 나노유체의 각 체적농도(0.3, 0.7, 1.0%)에 대하여 열전도도 향상률이 온도에 따라서 변화되는 양상을 보여준다. 전방적인 경향을 보면 향상율은 체적농도가 0.3%인 경우를 제외하면 온도 및 체적농도에 따라서 증가되고 있다.

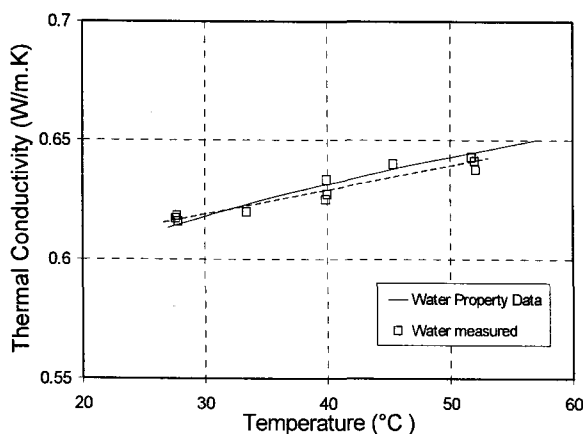


Fig. 6 Validation of present steady-state method to measure the thermal conductivity of the base fluid, distilled water.

그리고 향상율이 증가되면서 각 체적농도에 대응하는 데이터들은 낮은 온도 방향으로 이동되는 것을 볼 수 있는데 이는 열전도도의 기본원칙에 잘 부합되는 것으로 보인다. 그러나 체적농도가 0.3%로 낮아지면 온도의 상승 따른 나노유체의 열전도도 증가는 종류수 자체의 증가량과 상쇄되어 향상률은 거의 온도에 무관하게 일정하게 유지되는 경향이 나타나고 있다.

체적농도 1.0%에서 Das et al.<sup>(7)</sup>의 연구결과를 보면 온도가 25-50°C로 상승하면서 향상률은 대략 8%정도 증가되었으나 Fig. 7에 나타나 있는 것처럼 CNT B의 경우 2%도 채 되지 않는다. 비록 온도에 따른 향상률의 증가는 미미하지만 최대 향상률은 1.0%의 경우 10%에 달하며 이는 Das et al.<sup>(7)</sup>의 3.5%에 비교 시 2배 이상이다.<sup>(4,8)</sup> 그러나 CNT 자체의 열전도도가 20 W/cm.K 정도로 매우 높다는 것을 감안할 때 친수화된 F-SWNT를 적용한 나노유체의 열전도도는 향상률은 예상 밖으로 낮다.

Fig. 8에는 AP-SWNT를 적용한 CNT A 나노유체의 열전도도 향상률이 각 체적농도에 대하여 온도의 함수로 표시되어 있다. 향상률의 변화 양상은 CNT B와 거의 같으나 데이터들은 전반적으로 1-2% 정도 상향으로 이동된 것으로 보인다. 최고 향상률은 체적농도 1%에서 대략 11% 정도

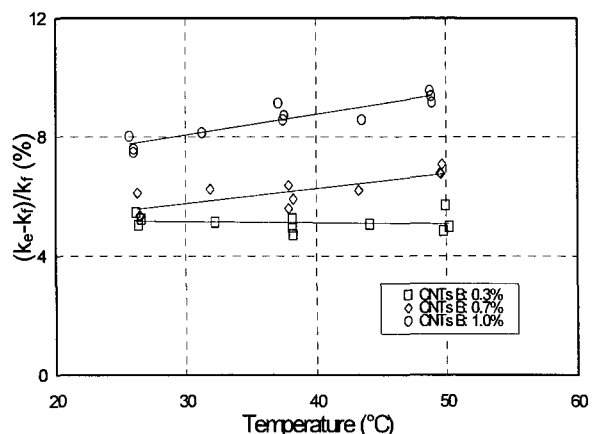


Fig. 7 Variation of the thermal conductivity enhancement of CNT B as a function of mean temperature for a given volume fraction.

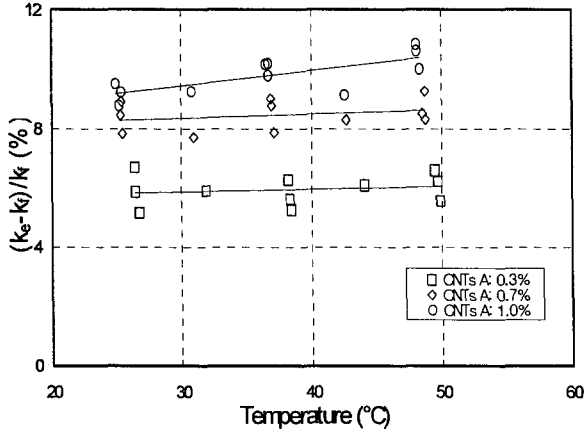


Fig. 8 Variation of the thermal conductivity enhancement of CNT A as a function of the mean temperature for a given volume fraction.

에 달하며 CNT B와 동등하거나 약간 높은 향상을 보였다. SDBS를 사용한 CNT A 나노유체가 비록 혼합액의 안정성과 균일성 측면에서는 F-SWNT를 적용한 CNT B보다는 못하지만 유효 열전도도 측면에서는 좀 더 유리하다는 사실을 보여 주고 있다.

라만 스펙트럼과 SEM/TEM 분석 결과들은 이러한 현상을 설명하는데 도움이 된다. 강한 D 피크는 CNT B의 경우 화학적인 친수화 처리 과정에서 손상되어 많은 결함을 내포하고 있다는 것을 나타내며 결과적으로 축 및 반경 방향으로 더 큰 열저항을 야기 시키게 된다. 또한 SEM/TEM 분석사진에서 보면 CNT B는 평균직경이 15 nm이고 길이가 1.5 $\mu\text{m}$ 인 대 이는 직경이 20nm이고 길이가 3 $\mu\text{m}$ 인 CNT A보다 가늘고 짧은 형상을 갖고 있다. CNT의 길이가 짧아질수록 더 큰 표면적을 갖게 되고 앞에서 언급한 것과 같이 정렬된 구조의 계면이 형성된다. 비록 이러한 계면구조가 열유동을 증진시킨다고 할지라도 표면의 형상학적인 변화로 인한 향상률의 감소는 이러한 증진 효과를 상쇄시킨다. 다른 측면에서 보면 낮은 종회비를 갖는 CNT는 작은 크기의 CNT 클러스트(Cluster)을 형성하는데 특히 친수화 처리된 F-SWNT의 경우에는 CNT 클러스트 크기가 극

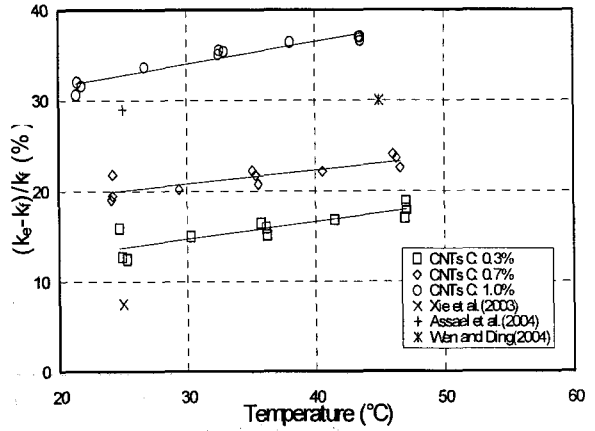


Fig. 9 Variation of the thermal conductivity enhancement of CNT C as a function of the mean temperature for a given volume fraction.

히 작아지게 된다. 이러한 직경 및 CNT 클러스트의 크기가 감소하는 원인들이 복합적으로 작용하여 각 CNT의 축방향 그리고 CNT 다발의 바깥쪽으로의 열유동이 억제된다.

MWNT를 중류수에 분산시킨 CNT C 나노유체의 열전도도 향상률이 온도 및 체적농도의 함수로 Fig. 9에 나타나 있다. 전반적인 변화 양상을 보면 향상률은 온도에 따라서는 거의 선형적으로 증가되나 체적농도에 따라서는 비선형적으로 증가되는데 이러한 경향은 MWNT를 알파 올레핀 오일에 분산시킨 경우<sup>(3)</sup>와 유사한 연구결과이다. 그리고 SWNT 나노유체의 경우와 마찬가지로 체적농도에 따라서 열전도도 향상률이 증가되면서 모든 데이터들이 낮은 온도 방향으로 이동되는 것을 볼 수 있다. 동일한 히터 입열에서 나노유체의 평균온도는 체적농도가 0.3에서 1.0%로 변화됨에 따라서 대략 3°C 정도 감소되었다. 또한 온도에 따른 향상률의 증가는 SWNT 나노유체의 경우 보다 더욱 현저하게 나타났는데 5~6%로 CNT A와 B보다 거의 두 배로 높다.

Fig. 9에서 볼 수 있는 CNT C 나노유체의 또 다른 특징은 각 체적농도에서 온도에 따른 향상률의 기울기가 거의 같다는 것이다. 즉 체적농도 0.3%의 기울기가 1.0%의 경우와 대등한 것으로 나타나 있는데 이는 SWNT를 사용한 CNT A와

B의 경우와는 크게 다른 양상이다. 이러한 경우에는 주로 체적농도에 좌우되는 미세대류 외에 또 다른 향상기구가 존재한다고 추정할 수 있다.

CNT C가 CNT A 및 C보다 5배정도로 큰 직경을 갖고 있다는 사실로부터 이러한 현상이 발생할 수 있는 가능성을 추정해 볼 필요가 있다. 일반적으로 큰 직경의 CNT를 함유한 나노유체에 있어서 계면의 정렬구조로 인한 열유동 증진효과는 덜 중요한 것으로 보인다. 큰 직경과 높은 종횡비를 갖는 CNT C 나노유체의 경우에는 CNT 집속체의 크기가 아주 커서 체적농도가 낮은 0.3%에서도 클러스트들은 이미 서로 연결된 상태가 되므로 이러한 클러스트 효과가 주요한 향상기구로 추정된다.

체적농도 1.0%에서 최대 향상률은 37%에 달하는데 이 결과는 Xie et al.<sup>(4)</sup>과 비교해 보면 동일한 온도 25°C에서 거의 5배 정도로 크다. Xie et al.<sup>(4)</sup>이 사용한 MWNT는 직경이 15 nm, 길이가 30 $\mu$ m로 본 연구에서 사용한 MWNT 보다 높은 종횡비를 갖고 있으나 화학적인 친수처리가 된 것으로 보아 CNT 자체에 내포된 많은 결함과 상대적으로 작은 직경 등의 열유동 방해 요인들로 인하여 향상률은 아주 낮은 값을 나타낸 것으로 판단된다.

Fig. 9에는 CNT C의 향상률이 Assael et al.<sup>(5)</sup>와 Wen and Ding<sup>(6)</sup>의 연구결과와 비교되어 있다. Assael et al.<sup>(5)</sup>은 상온에서 초음파 처리시간이 유효열전도에 미치는 영향을 조사하고자 했으며 0.6%의 체적농도에서 측정값은 시간에 따라서 38%에서 20%까지 변화되었으며 평균 29% 정도의 향상률을 나타내었다. 최대 향상률은 최소 초음파 처리시간(20분)에서 얻어졌으며 처리시간이 길어지면 향상률도 감소하는 경향을 나타냈다. 이러한 결과는 Assael et al.<sup>(5)</sup>에서 간파된 열전도 향상률에 미치는 종횡비와 클러스트 효과의 영향을 뒷받침 해주는 것으로 판단된다. 한편 Wen and Ding<sup>(6)</sup>은 체적농도 0.84%, 유체온도 45°C로 Assael et al.<sup>(5)</sup> 보다는 높은 체적농도와 온도에도 불구하고 거의 동등한 향상률( $\approx 30\%$ )을 보였다. 그러나 양 연구결과는 CNT C의 체적농도 0.7과 1.0%에 대응하는 측정데이터 사이에 위치하고 있다.

## 6. 결 론

미량의 SDBS를 가한 SWNT 나노유체는 친수화 처리된 SWNT보다 열전도 향상 측면에서 유리하였고 체적농도 1.0%에서 최고 향상률은 10% 내외로 예상에 못 미치지만 Al<sub>2</sub>O<sub>3</sub> 나노유체의 3.5%보다 두 배 이상 큰 값을 나타내었다.

MWNT 나노유체의 향상률은 온도에 따라서 선형적으로 증가되나 체적농도에 따라서는 비선형적으로 증가되는 양상을 나타내었고 체적농도 1.0%에서 최고 향상률은 37%정도 이었고 기존 연구결과와 잘 부합되었다.

CNT 나노유체의 열전도 향상기구로 클러스트 효과를 제안하며 클러스트 격자구조는 다중 열유동 통로를 형성하게 되고 결과적으로 유효열전도도가 현격하게 향상된다고 추정할 수 있다.

## 참고문헌

1. Maxwell, J. C., 1904, Electricity and Magnetism, Part II, 3<sup>rd</sup> ed., Clarendon, Oxford, p. 440.
2. Berber, S., Kwon, Y., and Tomanek, D., 2000, Unusually high thermal conductivity of carbon nanotubes, Physical Review Letters, Vol. 84, No. 20, pp. 4613-4616.
3. Choi, S. U. S., Zhang, Z. G., Yu, W., Lockwood, F. E. and Grulke, E. A., 2001, Anomalous thermal conductivity enhancement in nanotube suspensions, Applied Physics Letters, Vol. 79, No. 14, pp. 2252-2254.
4. Xie, H., Lee, H., Youn, W., and Choi, M., 2003, Nanofluids containing multiwalled carbon nanotubes and their enhanced thermal conductivities, Journal of Applied Physics, Vol. 94, No. 8, pp. 4967-4971.
5. Assael, M. J., Chen, C. F., Metaxa, I., and Wakeham, W. A., 2004, Thermal Conductivity of suspensions of carbon nanotubes in water, International Journal of

- Thermophysics, Vol. 25, No. 4, pp. 971–984.
6. Wen, D. S. and Ding, Y. L., 2004, Effective thermal conductivity of aqueous suspensions of carbon nanotubes (carbon nanotube nanofluids), *Journal of Thermophysics and Heat Transfer*, Vol. 18, No. 4, pp. 481–485.
  7. Das, S. K., Putra, N., Thiesen, P., and Roetzel, W., 2003, Temperature dependence of thermal conductivity enhancement for nanofluids, *Journal of Heat Transfer*, Vol. 125, pp. 567–574.
  8. Wang, X., Xu, X., and Choi, U. S., 1999, Thermal conductivity of nanoparticle-fluid mixture, *Journal of Thermophysics and Heat Transfer*, Vol. 13, No. 4, pp. 474–480.
  9. Lee, S., Choi, S. U. S., Li, S., and Eastman, J. A., 1999, Measuring thermal conductivity of fluids containing oxide nanoparticles, *Transaction of ASME, Journal of Heat Transfer*, Vol. 121, pp. 280–289.
  10. Challoner, A. R., and Powell, R. W., 1956, Thermal conductivities of liquids: New determinations for seven liquids and appraisal of existing values, *Proceedings of the Royal Society of London, Series A*, Vol. 238, No. 1212, pp. 90–106.
  11. Thomsen, C., 2003, Raman scattering in carbon nanotubes, *Proceedings of SPIE*, Vol. 5219, *Nanotubes and Nanowires*, Lakhtakia, A., and Maksimenko, S. (ed), Bellingham, WA, pp. 45–50.
  12. Tohji, K., Takahashi, H., Shinoda, Y., and Shimizu, N., 1996, Purifying single-walled nanotubes, *Nature*, Vol. 383, p. 679.
  13. Zhang, J., et al., 2003, Effect of chemical oxidation on the structure of single-walled carbon nanotubes, *Journal of Physical Chemistry B*, Vol. 107, pp. 37121–3718.
  14. Applied Nanotechnologies Inc., Technical Brochure: <http://www.applied-nanotec.com/cntproperties.htm>.
  15. Incropera, F. P., and Dewitt, D. P., 2002, Fundamentals of heat and mass transfer, Jhon wiley and Sons, New York.
  16. ASM Metal Handbook, 1973, Property and selections, ASM Intl., 8<sup>th</sup> edition.